



ارائه شده توسط :

سایت ترجمه فا

مرجع جدیدترین مقالات ترجمه شده

از نشریات معتربر

## مقایسه دو مدل برای جذب زیستی سرب با استفاده از هسته زیتون فراوری شده

### شیمیایی و فراوری نشده: روش طرح آزمایشات و سیستم استنتاج تطبیقی فازی

چکیده :

هدف اصلی این کار، برآش نتایج حاصل از جذب زیستی سرب با هسته زیتون فراوری شده و فراوری نشده با استفاده از دو مدل می باشد: میانگین های روش طرح فاکتوریل و شبکه عصبی فازی. به طور هماهنگ،  $OS$  با سه عامل شیمیایی اصلاح شد:  $NaOH$ ,  $HNO_3$  و  $H_2SO_4$ . این اصلاح به منظور بهبود قابلیت جذب زیستی آن بود. متغیر های عملیاتی بررسی شده شامل غلظت عامل شیمیایی، اسیدیته و غلظت اولیه سرب(50-250 mg/L) و پاسخ مطالعه شده، ظرفیت جذب زیستی (میلی گرم بر گرم بود).

نتایج حاصل از روش طرح تمام فاکتوری نشان داد که همه این عوامل اثر قابل توجهی بر روی پاسخ مطالعه شده داشتند. نتایج آزمایش با معادله درجه دوم برآش شد که اثر هر فاکتور و اثرات متقابل آن ها را نشان می دهد. اگرچه کاربرد مدل شبکه عصبی فازی امکان پیش بینی نتایج را برای متغیر های وابسته به صورت تابعی از شرایط عملیاتی مورد استفاده با خطای کم تر از 5 درصد در همه موارد دارد. نتایج کلی زمانی متفاوت بود که جاذب زیستی با تیمار اسیدی یا با تیمار بازی فراوری شد اگرچه برای کل تیمار ها، بیشترین ظرفیت جذب زیستی با غلظت 2 مول حاصل شد. در نهایت، مدل ها مقایسه شده و نتایج نشان داد که مدل ANFIS به طور بهتری داده های ازمایشی را با مقادیر  $R^2$  بالاتر پیش بینی می کند.

لغات کلیدی: جذب زیستی، تیمار شیمیایی، سرب، هسته زیتون، مدل سازی طرح ازمایشی ، مدل سازی فازی عصبی

#### -1- مقدمه

آلودگی محیط زیست با فلزات هسته‌های سمی در سرتاسر دنیا همراه با پیشرفت صنعت در حال افزایش است. یون های فلزات هسته‌های قادر به تجمع در زنجیره غذایی می باشد که خطرات زیادی را برای سلامت بشری ایجاد کرده است(1). سازمان بهداشت جهانی توصیه می کند که ماکزیمم سطح غلظت قابل قبول سرب در آب آسامیدنی حدود 10 میکرو گرم بر لیتر است. با در نظر گرفتن لزوم کاهش انتشار این فلزات به محیط زیست

برای کاهش اثرات منفی آن و افزایش سلامت انسان، بررسی و جست و جوی روش های اقتصادی و زیست محیطی برای نکه داشتن عوامل آلاینده در دامنه مجاز ضروری به نظر می رسد(2). در این زمینه، جذب زیستی می تواند جایگزینی برای حذف سرب باشد زیرا مزایایی قابل توجهی در مقایسه با روش های سنتی به خصوص از نظر زیست محیطی و اقتصادی(3-6) دارد.

تعداد زیادی از مواد پسماند کشاورزی به عنوان جاذب های فلزات هسته‌های مورد استفاده قرار گرفته اند: برگ چای و کاکتوس، پوست بادام، پسماند های هرس درخت زیتون، مخروط، زیره سیاه، پوست نارگیل، ریشه های سنبل آبی، پسماند های برنج و غیره(7-10). مواد پسماند کشاورزی دارای پروتئین، پلی ساکارید و لیگنین می باشند که حاوی گروه های عاملی نظیر هیدروکسیل، کربونیل، کربوکسیل، نقش مهمی برای جذب فلز ایفا می کند(10-11). به علاوه، تیمار یا فراوری شیمیایی پسماند ها، تعیین کننده افزایش تمرکز سایت های فعال و قابلیت جذب پسماند است(12-20). ریورا و همکاران 1986 اولین بار از هسته زیتون فراروی شده شیمیایی برای بدست اوردن گربن فعال برای حذف سرب از آب استفاده کردند. آن ها هسته زیتون خام را آسیاب و غربال کرده و آن ها با 10 درصد اسید سولفوریک فراروی کردند. آن ها با افزایش ظرفیت جذب زیستی مواجه شدند. اخیرا کربن های فعال به عنوان جاذب های منحصر به فرد به دلیل سطح مقطع بالا، ساختار متخلخل، ظرفیت جذب بالا و درجه بالایی واکنش سطحی مطرح می باشند(22). در حال حاضر نانولوله ها به عنوان جاذب های فلزات سنگین محسوب می شوند. ولی این مواد پر هزینه بوده و دارای فرایند تهیه و ساخت پیچیده ای می باشند. استفاده از پسماند های شیمیاییکی از ارزان ترین و موثر ترین فناوری ها برای حذف یون های فلزات از فاضلاب می باشند. در این مطالعه هسته زیتون فراروی شده شیمیایی و فراروی نشده باری حذف یون های سرب مقایسه می شوند.

اسپانیا، ایتالیا و یونان حدود 97 درصد تولید روغن زیتون اروپا را بر عهده دارند که اسپانیا تقریباً 62 درصد این مقدار را تولید می کند. امروز تولید روغن زیتون با حجم بالایی تولید هسته ای زیتون مراه است. با توجه به این که کشت طیتون پنجمین محصول زراعی اسپانیاست (تولید زیتون اسپانیا در 2011 برابر با 7 میلیون تن بود) حجم بالایی از هسته ای زیتون به عنوان پسماند کشاورزی صنعتی در این کشور تولید می شود. هسته ای زیتون به عنوان یک محصول پسماند وجود دارد که هیچ گونه ای صنعتی برای ان گزارش نشده است بنابراین این هسته

بدون کنترل یا سوزانده می شود و یا دفع می شود. اگر چه امروزه هسته‌ی زیتون به عنوان یک سوخت استفاده می شود حجم بالایی از این پسماند بدون کاربرد باقی مانده است. بنابراین بهره برداری، مطالعه‌ی دیگر استفاده‌های هسته‌ی زیتون و مسائل زیست محیطی آن می تواند اهمیت بالایی داشته باشد (18).

مطالعات سنتی در طی توسعه‌ی یک فرایند که شامل تغییر یک فاکتور در یک زمان است با ثابت در نظر گرفتن همه‌ی موارد انجام شده اند به منظور بررسی تاثیر متغیرهای عملیاتی مختلف در یک پاسخ مورد مطالعه، طرح فاکتوریل ازمایشی و تحلیل اماری با سیستم استنتاج فازی عصبی تطبیقی در این مطالعه استفاده شد. طرح فاکتوریل (25) شامل تغییر همه‌ی متغیرها از یک ازمایش به ازمایش دیگر بود. طرح تعیین کننده‌ی این است که کدام فاکتور را بیشترین اثر را بر روی پاسخ دارد و چگونه اثر یک فاکتور با سطح فاکتورهای دیگر تغییر می کند (26). تحلیل اماری با سیستم استنتاج فازی تطبیقی عصبی توسط جانگ (27) استفاده شده و به طور موفق برای شبیه سازی و کنترل فرایند های مختلف به کار گرفته شد.

هدف اصلی این مطالعه به شکل زیر است:

- مطالعه‌ی اثر تیمار شیمیایی هسته‌ی زیتون برای بهبود قابلیت جذب زیستی
- مطالعه‌ی همه‌ی اثرات متقابل و اثرات فردی بر روی ظرفیت جذب زیستی 3 پارامتر عملیاتی: غلظت عامل شیمیایی اسیدیته و غلظت اولیه‌ی سرب.
- مدل سازی داده‌های ازمایشی با دو مدل: طرح تمام فاکتوریل برای به دست اوردن معادله‌ی رگرسیون درجه دوم و سیستم استنتاج فازی عصبی تطبیقی
- تشریح ظرفیت جذب زیستی در دو مدل ریاضی
- مقایسه‌ی هر دو مدل با نمایش داده‌های مدل سازی شده و ازمایشی

## 2. مواد و روش‌ها

### 2.1 بیوماس

هسته‌ی زیتون یک پسماند تولید شده در فرایند استخراج زیتون است. OS یا هسته‌ی زیتون برای این مطالعه توسط کارخانه‌ی استخراج روغن در جین اسپانیا به دست امد. هسته‌های از فرایند تفکیک کیک زیتون با دستگاه پیتینگ صنعتی حاصل شد. مواد جامد با اسیاب تحلیلی اسیاب شده و اجزای کمتر از 0.001 میلیمتر برای

مطالعه انتخاب شد در نهایت این اجزا با محلول های شیمیایی مختلف برای افزایش ظرفیت جذب زیستی فراوری شدند.

### 2.1.1 اصلاح با تیمار شیمیایی بیوماس خام

اصلاح شیمیایی هسته‌ی زیتون با استفاده از ۳ محلول شیمیایی انجام شده است. اسید نیتریک، اسید سولفوریک و هیدروکسید سدیم. محلول های فروری و تیمار غلظت‌های مختلفی برای تحلیل اثر علظمت عامل شیمیایی بر روی ظرفیت جذب زیستی و درصد حذف سرب داشتند. یک لیتر از این محلول‌ها و ۱۰ گرم از بیوماس از فلاسک در دمای ثابت ترکیب شد. بیوماس و محلول شیمیایی به مدت ۲۴ ساعت با هم در تماس بودند. سپس بیوماس به طور مکرر با اب مقطر تا زمان ثابت باقی ماندن PH شسته شدند. در نهایت هسته‌ی زیتون فراوری شده‌ی شیمیایی در اون ۴۰ درجه به مدت ۲۴ ساعت خشک شده و سپس در کانتینر هرمتیک برای استفاده های بعدی قرار داده شد.

### 2.2 تهیه‌ی محلول سرب

محلول ذخیره‌ی ۲۰۰۰ mg/L Pb(II) توسط انحلال ۵۰۰ میلی لیتر اب مقطر به دست امد. سپس محلول‌ها با غلظت‌های مختلف با رقیق سازی محلول سرب بالا تهیه شدند.

### 2.3 مطالعه‌ی هسته‌ی زیتون فراوری شده‌ی شیمیایی و فراوری نشده

چون مطالعه‌ی پسماند یک بعد معن برای تجزیه تحلیل رفتار آن است خلاصه‌ای از این نتایج مطالعات قبلی بر روی هسته‌ی زیتون در جدول ۵ نشان داده شده است

### 2.4 تست جذب زیستی بج

برای مقایسه‌ی دو مدل پاسخ ظرفیت جذب زیستی برای هسته‌ی زیتون فراوری شده‌ی شیمیایی و فراوری نشده برآزمایش یافتنباراین ازمایشات جذب زیستی با تکرار انجام شد. سپس آن‌ها در یک سیستم بج قرار گرفته و در دمای ثابت نگه داری شدند. ۱ گرم بیوماس و ۱۰۰ میلی لیتر محلول سرب در فلاسک ترمoplastیک ترکیب شد. ازمایشات با اسیدیته‌ی ۰.۱ N HCl و ۰.۱ N NOH انجام شدند. بعد از ۱۲۰ دقیقه غلظت مایع سرب با استفاده از طیف سنج جذب زیستی اندازه گیری شد. ظرفیت جذب زیستی در حالت تعادل  $q_e$  (mg/g) بر اساس معادله‌ی بیلان وزنی برای غلظت یون فلزی به دست امده است

$$q_e = \frac{(C_i - C_e) \cdot V}{m} \quad (1)$$

که  $C_i$  غلظت اولیه‌ی سرب و  $C_e$  غلظت سرب تعادلی در محلول  $V$  حجم محلول و  $M$  وزن جاذب زیستی است.

## 2.5 مطالعه‌ی فاکتور‌های عملیاتی

پارامتر‌هایی نظیر اسیدیته، زمان تماس، دوز جاذب زیستی و دما از اهمیت بسیاری در فرایند جذب زیستی برخوردار است. و با این حال این پارامتر‌ها برای هسته‌ی زیتون فراوری شده مطالعه شدند. در این مطالعه هدف اصلی بررسی اثرات تیمار شیمیایی بر روی هسته‌ی زیتون بود و پارامتر‌هایی با بیشترین اثر بر فراوری جاذب های زیستی در این مطالعه بررسی شدند لذا معرف شیمیایی مورد استفاده، غلظت محلول شیمیایی برای فرائرن و اسیدیته به عنوان فاکتور‌ها انتخاب شدند. سایر پارامتر‌ها بر اساس نتایج مطالعات قبل ثابت بودند.

### 2.5.1 اثر نوع تیمار شیمیایی

ابتدا اثر نوع تیمار شیمیایی هسته‌ی زیتون مطالعه شد. برای این بعد بهتر است که بدانیم تیمار موجب بهبود جذب زیستی فرایند سرب می‌شود. ازمایشات با ۳ معرف انجام شدند. دو اسید ( $HNO_3$  and  $H_2SO_4$ ) و یک باز  $(NaOH)$  و سپس تغییر ظرفیت جذب زیستی بررسی شد. این ازمایشات با شرایط زیر انجام شدند: غلظت شیمیایی  $1 M$ ,  $pH 5$ ,  $10 g/L$ ; غلظت جاذب زیستی  $150 mg/L$ ; زمان تماس ۱۲۰ دقیقه دما ۲۵ درجه و حجم محلول ۱۰۰ میلی لیتر.

### 2.5.2 تحلیل ۳ فاکتور عملیاتی: غلظت معرف شیمیایی اسیدیته و غلظت اولیه‌ی سرب

بعد از مشخص شدن این که تیمار هسته‌ی زیتون موجب بهبود جذب زیستی فرایند سرب می‌شود هسته‌ی زیتون‌های فراوری شده‌ی شیمیایی برای تحلیل دیگر فاکتور‌های عملیاتی انتخاب شدند. ابتدا اثر هر فاکتور بر ظرفیت جذب زیستی بررسی شد سپس اثر همه‌ی فاکتور‌ها همراه با ظرفیت جذب زیستی با استفاده از دو مدل تجزیه تحلیل شد.

جدول ۱: مقادیر و سطوح پارامتر‌های عملیاتی

Factors	Levels		
	-1	0	+1
A: Concentration of treatment solution (M)	0.1	1	2
B: pH	3	4	5
C: Initial concentration of lead (mg/L)	50	150	250

## 2.6 مدل سازی توسط طرح فاکتوریل FFD

برای توسعه ی مدلی برای جذب زیستی سرب فاکتور های تحلیل شده مطالعه شدند. طرح های فاکتوریل امکان مطالعه ی همزمان اثرات بر روی بهینه سازی فرایند خاص را با حداقل تعداد ازمایش می دهند(33،34) این همچنین عوامل مهم و موثر بر پاسخ و نیز شیوه ی تغییر اثرات فاکتور را با سطح فاکتور های دیگر به دست می دهد. اثرات کمیت های متفاوتی هستند که بیانگر شیوه ی تغییر پاسخ با تغییر میزان سطح یک یا چند فاکتور است. همچنین طرح های فاکتوریل امکان اندازه گیری اثرات متقابل را بین هر یک از گروه های فاکتور ها را می دهد.

تحلیل فاکتور ها بر روی داده های به دست اnde با هسته ی زیتون فراوری شده ی شیمیابی توسط  $\text{HNO}_3$ ,  $\text{H}_2\text{SO}_4$  and  $\text{NaOH}$  و ظرفیت جذب زیستی سرب به صورت پاسخ انجام شد. فاکتور های مطالعه شده شامل موارد زیر بودند غلظت محلول شیمیابی برای تیمار A اسیدیته B و غلظت اولیه ی سرب و C سطوح تدوین شده «پایین متوسط و بالا. سپس 27 اندازه گیری برای انجام طراحی فاکتوریل انتخاب شد. جدول 1 مقادیر و سطح پارامتر های عملیاتی را نشان می دهد. تحلیل طراحی فاکتوریل برای Os با 3 تیمار انجام شد و نتایج مقایسه شدند.

## 2.7 تحلیل اماری با سیستم استنتاج فازی عصبی تطبیقی

مدل سازی فازی یک ابزار قوی برای توصیف رفتار غیر خطی در سیستم های کمپلکس است. از 1980 میلادی تئوری منطق فازی به طور موفقی توسط تعدادی از محققان برای شبیه سازی و کنترل تخمیر و فرایند های هضم بی هوایی استفاده شده است(35). شبکه های عصبی که با قیاس با کارکرد نورون های عصبی در موجودات زنده ایجاد شده اند(36)، یک ابزار همه دیگر برای مدل سازی سیستم های پیچیده می باشند. پادایم

یک شبکه انتشار چند لایه ای است که در ان شبکه ای عصبی به صورت معادل با مدل فازی سوزن عمل می کند. شبکه ای تطبیقی می تواند سیستم فازی را با الگوریتم انتشار پسین بر اساس مجموعه ای از داده های ورودی و خروجی تعديل کند. این می تواند به سیستم فازی قابلیت یادگیری بدهد (29) ساختار و روش یادگیری ANFIS مطالعات دیگر بررسی شده است. تلفیق سیستم های فازی و شبکه های عصبی مزیت های زیادی را داشته و می تواند یک ابزار مدل سازی قوی را در اختیار بگذارد (29). با این حال محدودیت اصلی مدل ANFIS در زمانی است که تعداد داده های ازمایشی ناکافی باشد برای همین منظور برای به دست اوردن یک مدل خوب بهتر است تا از تعداد زیادی داده با شرط عملیاتی مختلف استفاده شود. از سوی دیگر همگرایی مدل ANFIS برای حل مسئله کافی است زیرا پارامتر ها ممکن است ثابت نباشد. از الگوریتم یادگیری استفاده می کند که موجب کاهش فضای تحقیق و سریع تر شدن همگرایی الگوریتم می شود. وقتی داده های ازمایشی با مدل ANFIS برازش یافتند همگرایی راه حل می تواند برای کاهش خطا استفاده شود. با این حال اگر چه این می تواند موجب بهبود عملکرد شود ولی پایداری کمی را در پاسخ نشان می دهد برای اجتناب از این مسئله تحمل خطا بایستی به دلیل به دست اوردن مدل تعریف شد تا استفاده از مدل معادل با صفر (38). در این مورد خطای ثابت 0.0001 بود.

جدول 2: مقادیر و شطوح پارامتر های عملیاتی

Fuzzy Rule	Constant	Levels		
		A	B	C
FR <sub>1</sub>	c <sub>1</sub>	Low	Low	Low
FR <sub>2</sub>	c <sub>2</sub>	Low	Low	Medium
FR <sub>3</sub>	c <sub>3</sub>	Low	Low	High
FR <sub>4</sub>	c <sub>4</sub>	Low	Medium	Low
FR <sub>5</sub>	c <sub>5</sub>	Low	Medium	Medium
FR <sub>6</sub>	c <sub>6</sub>	Low	Medium	High
FR <sub>7</sub>	c <sub>7</sub>	Low	High	Low
FR <sub>8</sub>	c <sub>8</sub>	Low	High	Medium
FR <sub>9</sub>	c <sub>9</sub>	Low	High	High
FR <sub>10</sub>	c <sub>10</sub>	Medium	Low	Low
FR <sub>11</sub>	c <sub>11</sub>	Medium	Low	Medium
FR <sub>12</sub>	c <sub>12</sub>	Medium	Low	High
FR <sub>13</sub>	c <sub>13</sub>	Medium	Medium	Low
FR <sub>14</sub>	c <sub>14</sub>	Medium	Medium	Medium
FR <sub>15</sub>	c <sub>15</sub>	Medium	Medium	High
FR <sub>16</sub>	c <sub>16</sub>	Medium	High	Low
FR <sub>17</sub>	c <sub>17</sub>	Medium	High	Medium
FR <sub>18</sub>	c <sub>18</sub>	Medium	High	High
FR <sub>19</sub>	c <sub>19</sub>	High	Low	Low
FR <sub>20</sub>	c <sub>20</sub>	High	Low	Medium
FR <sub>21</sub>	c <sub>21</sub>	High	Low	High
FR <sub>22</sub>	c <sub>22</sub>	High	Medium	Low
FR <sub>23</sub>	c <sub>23</sub>	High	Medium	Medium
FR <sub>24</sub>	c <sub>24</sub>	High	Medium	High
FR <sub>25</sub>	c <sub>25</sub>	High	High	Low
FR <sub>26</sub>	c <sub>26</sub>	High	High	Medium
FR <sub>27</sub>	c <sub>27</sub>	High	High	High

A : محل تیمار B: اسیدیته C: غلظت اولیه ی سرب

تغییرات در ظرفیت جذب زیستی توسط هسته ی زیتون فراوری شده ی شیمیایی و فراوری نشده به صورت تابعی از متغیر های عملیات جذب زیستی را می توان با مدل پیشنهادی جانگ و همکاران تجزیه تحلیل کرد:

$$y_e = \frac{\sum_{l=1}^m y^l \cdot \left[ \prod_{i=1}^n \mu_{F_i}^l(x_i, \theta_i^l) \right]}{\sum_{l=1}^m \left[ \prod_{i=1}^n \mu_{F_i}^l(x_i, \theta_i^l) \right]} \quad (2)$$

که  $y_e$  مقدار پاسخ پیش بینی شده L تعداد سطح M تعداد قوانین N متغیر های عملیاتی ورودی  $\text{DFAZIRO}$  دفازیرو  $\mu_{F_i}^l(x_i, \theta_i^l)$  تابع عضو است. برای ساده سازی مطالعه در این مطالعه عبارت  $FR_l$  با نشان داده می شود. زیرا بیانگر تابع فازی بوده و با N تابع بیان می شود بنابراین عبارت 2 با عبارت زیر جایگزین می شود:

$$y_e = \frac{\sum_{l=1}^m y^l \cdot FR_l}{\sum_{l=1}^m FR_l} \quad (3)$$

در این مطالعه 3 متغیر عمیلاتی و 3 سطر به ازای هر متغیر تحلیل شدند. بنابراین معادله ی 3 به صورت زیر بازنویسی می شود:

$$y_e = \frac{\sum_{l=1}^{27} c_l \cdot FR_l}{\sum_{l=1}^{27} FR_l} \quad (4)$$

که  $c_l$  پارامتر ثابت منفعل به ازای هر متغیر و هر فصل است. بعلاوه هر  $FR_l$  ترکیبی از سطوح برای هر متغیر (غلظت محلول شیمیایی برای تیمار های A, pH (B) and initial Pb(II) است. روش های مختلف برای تعیین داده های فزی برای قوانین ورودی وجود دارد (خطی، قوسی، چند جمله ای لگاریتمی و غیره) و این ها برای تک تک متغیر های مستقل هستند. هر قاعده ی فازی تعیین کننده ی نوع سهم این متغیر ها در خروجی نهایی است.

جدول 2 ترکیب سطوح و متغیر ها را نشان می دهد که یک قاعده و یک ثابت نشان داده است. برای باز تولید و تکرار داده های ازمایشی توابع عضو گوسی استفاده شده است. توابع عضوی ساده را می توان استفاده کرد (عضو خطی) با این حال تحلیل قبلی نشان داد که حداقل خطای برآشی با توابع گوشی به دست

امد بنابراین این ها به این دلیل انتخاب شدند که برای ارزش یابی مدل استفاده می شوند. عبارات ریاضی برای توابع عضو گوسی و هر سطح به شکل زیر است:

$$\mu_{low} = \exp \left( -0.5 \cdot \left( \frac{x - x_{low}}{L} \right)^2 \right) \quad (5)$$

$$\mu_{medium} = \exp \left( -0.5 \cdot \left( \frac{x - x_{medium}}{L} \right)^2 \right) \quad (6)$$

$$\mu_{high} = \exp \left( -0.5 \cdot \left( \frac{x - x_{high}}{L} \right)^2 \right) \quad (7)$$

که  $x_{low}$ ,  $x_{medium}$  and  $x_{high}$  مقادیر هر سطح(پایین متوسط و بالا) برای هر متغیر و  $L$  عرض توزیع گوسی است.

با همه ای ملاحظات قبلی معادله 4 را می توان به صورت زیر نوشت:

$$y_e = \frac{c_1 \cdot FR_1 + c_2 \cdot FR_2 + c_3 \cdot FR_3 + \dots + c_{25} \cdot FR_{25} + c_{26} \cdot FR_{26} + c_{27} \cdot FR_{27}}{FR_1 + FR_2 + FR_3 + \dots + FR_{25} + FR_{26} + FR_{27}} \quad (8)$$

جدول 3: نتایج ازمايشی تست های جذب زیستی برای هسته ای زیتون فراوری شیمیایی در هر شرایط عملیاتی

	$C_{Chemical\ solution}\ (M)$	pH	$C_{initial\ Pb(II)}\ (mg/L)$	HNO <sub>3</sub> -OS	H <sub>2</sub> SO <sub>4</sub> -OS	NaOH-OS
1	0.1	3	50	1.49	0.92	4.01
2	0.1	3	150	2.21	1.10	9.52
3	0.1	3	250	2.67	1.09	12.97
4	0.1	4	50	2.97	2.43	5.42
5	0.1	4	150	3.62	3.40	14.39
6	0.1	4	250	4.22	4.10	22.70
7	0.1	5	50	3.15	2.79	4.59
8	0.1	5	150	7.47	5.53	14.68
9	0.1	5	250	5.25	3.59	22.85
10	1	3	50	0.61	1.57	3.84
11	1	3	150	1.29	1.83	10.29
12	1	3	250	2.15	1.89	14.42
13	1	4	50	2.29	1.81	5.49
14	1	4	150	3.75	3.71	14.78
15	1	4	250	5.07	3.80	25.30
16	1	5	50	4.01	2.02	5.00
17	1	5	150	3.87	5.07	14.21
18	1	5	250	5.18	8.70	20.49
19	2	3	50	5.55	3.29	3.94
20	2	3	150	12.13	5.66	10.64
21	2	3	250	18.09	7.34	13.85
22	2	4	50	6.34	4.28	5.62
23	2	4	150	15.32	9.08	17.02
24	2	4	250	25.22	11.8	25.48
25	2	5	50	4.95	4.52	4.78
26	2	5	150	14.55	13.09	14.38
27	2	5	250	25.10	16.47	24.40

جدول 4: داده های ازمايشی مورد استفاده برای اعتبار سنجی و ارزیابی مدل ANFIS پیشنهادی

Run	Operational conditions			Biosorption capacity (mg/g)		
	$C_{\text{chemical solution}} (\text{M})$	pH	$C_{\text{initial Pb(II)}} (\text{mg/L})$	$\text{HNO}_3\text{-OS}$	$\text{H}_2\text{SO}_4\text{-OS}$	$\text{NaOH}\text{-OS}$
1	0.5	3.5	100	3.32	2.25	8.95
2	0.5	4.5	200	7.73	5.01	19.46
3	1.5	3.5	200	14.47	7.68	19.01

همه‌ی پارامتر‌ها و ثابت‌ها در معادله‌ی 8 با استفاده از ابزار ویراش انفیست در نرم افزار مطلب به دست آمدند در نهایت مدل مورد استفاده در 3 تست متفاوت برای داده‌های ازمایشی برای اموزش مول اعتبار سنجی شد.

### 3. نتایج و بحث

#### 3.1 ازمون جذب زیستی

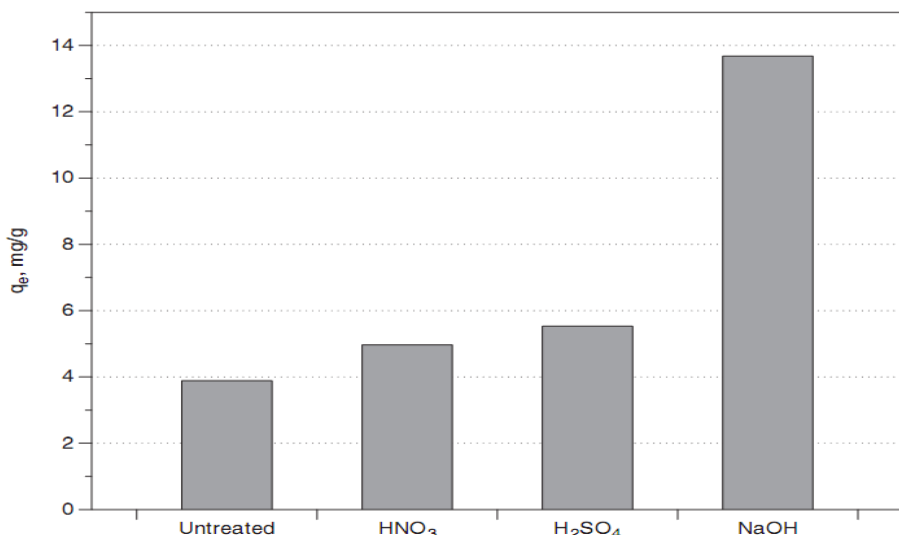
جدول 3 همه‌ی نتایج به دست آمده در تست جذب زیستی را نسان می‌دهد. همه‌ی ازمایش با تکرار انجام شده و مقادیر میانگین استفاده شد. این داده‌های ازمایشی بر اساس طرح تمام فاکتوریل و تحلیل اماری با سیستم استنتاج عصبی فازی تطبیقی برآورش شدند. در نهایت 3 تست دیگر برای اعتبار سنجی مدل ANFIS به دست آمده استفاده شد. مقادیر در دامنه‌های متغیر برای هر عملیاتی با هدف توصیف کل دامنه‌های مورد مطالعه انتخاب شدند.

#### 3.2 مطالعه‌ی فاکتور‌های عملیاتی

##### 3.2.1 اثر نوع تیمار شیمیایی

OS با 3 تیمار شیمیایی برای مطالعه‌ی اثر تیمار شیمیایی در ظرفیت جذب زیستی فراوری شد. داده‌های به دست آمده از مطالعات تیماری با داده‌های به دست آمده از OS فراوری نشده مقایسه شدند. نتایج در شکل 1 نشان داده شده است که در ان نتایج به دست اnde با هسته‌ی زیتون فراوری نشده نیز مدل سازی شدن همه‌ی تیمار‌ها موجب بهبود ظرفیت جذب زیستی OS می‌شوند. بهبود ظرفیت جذب زیستی سرب با تیمار‌های هسته‌ی زیتون با توجه به هسته‌ی زیتون فراوری نشده به ترتیب **27.76, 29.66, 251.03%** توسط **NaOH-OS** و **HNO<sub>3</sub>-OS, H<sub>2</sub>SO<sub>4</sub>-OS** بود. اگر چه همه‌ی تیمار‌ها موجب بهبود همه‌ی نتایج در مقایسه با OS فراوری نشده شدن بهبود هسته‌ی زیتون فراوری شده با HCl بسیار پایین بود که در این مورد تیمار عملی نبود بر اساس مطالعات زیر ای تیمار حذف شد و اثر دیگر فاکتور‌ها با تیمار شیمیایی هسته‌ی زیتون با عوامل دیگر بررسی شد.

شکل 1: اثر نوع تیمار شیمیایی در ظرفیت جذب زیستی سرب با هسته‌ی زیتون فراوری شده و نشده (غلظت عامل شیمیایی 1 مول اسیدیته 5 و غلظت اولیه‌ی سرب 150 میلی‌گرم بر لیتر غلظت جاذب 10 گرم بر لیتر)



بهبود‌ها و افزایش‌های مشاهده شده هنگام تیمار جاذب زیستی با عوامل شیمیایی مشابه با نتایج به دست امده به دست محققان دیگر بود. شاروف و وادیا (14) بهترین بهبود بیوماس مرده‌ی *Mucorhiemalis* را با  $Na_2CO_3$  به دست اورند. شاروف و ویدا (41) قابلیت جذب زیستی بیوماس مرده‌ی *Rhizopusarrhizus* را با اسید سیتریک بهبود بخشد. او فاماچا و نادیو (42) ظرفیت جذب زیستی مخروط کاج را با  $KOH$  و  $Ca(OH)_2$  اسید سیتریک بهبود بخشد و بهترین نتایج را با تیمار  $NaOH$  نشان داد و اصغر و باتر (15) ظرفیت جذب زیستی  $NaOH$  بیوماس پسماند مرکبات را اسید استیک گزارش داد.

بسیاری از این مطالعات گزارش کردند که تیمار شیمیایی بیوماس موجب تغییر ظرفیت جذب زیستی جاذب، تغییر خصوصیات فیزیکی و شیمیایی آن می‌شود. به همین دلیل تعیین خصوصیات فیزیکی و شیمیایی جاذب زیستی برای درک مکانیسم پیوندی فلزات با بیوماس لازم است.

جدول 5 خلاصه‌ای از مطالعه‌ی خصوصیات هسته‌ی زیتون و تغییرات اصلی ایجاد شده با 3 تیمار را نشان می‌دهد اگر چه تغییرات اصلی در کارهای قبلی مطالعه شدند از جمله افزایش حذف جذب حجم تخلخل بالا و تعداد نقاط پیوندی و اتصالی بالا، اصلاح ترکیب شیمیایی و کاهش مقدار TOC محلول حاصله بعد از جذب سرب بسیار قابل توجه بوده است.

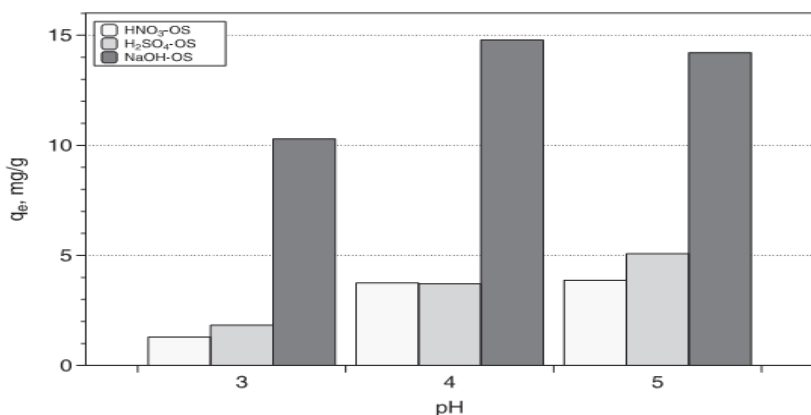
برای تحلیل نتایج کاهش وزن طی تیمار نیز در نظر گرفته شد و مشاهده گردید که اسید سیتریک در لیگنین محلول است و موجب افزایش غلظت در وزن هولو سلولوز می گردد. با این حال اسید سولفوریک اثر مخالفی نشان داد و بیشتر در سلولوز قابل انحلال بوده و بنابراین درصد باقی مانده ی لیگنین افزایش می یابد. تیمار با هیدروکسید سدیم به عنوان یک تیمار واکنشی انتخاب می شود اما می تواند در هولوسلولوز نیز استفاده شود.

### 3.2.2 مطالعه ی اثرات فاکتور ها

- اثر اسیدیته ی محلول

ازمایشات با OS فراوری شده با 3 عامل شیمیایی در غلظت تیمار 1 مول و غلظت اولیه ی سرب 150 میلی گرم بر لیتر در 3 اسیدیته ی 3، 4 و 5 برای مطالعه ی اثر این فاکتور بر قابلیت جذب زیستی هسته ی زیتون توسط سرب انجام شد. نتایج در شکل 2 نشان داده شده است.

شکل 2: اثر اسیدیته در جذب زیستی سرب (غلظت عامل شیمیایی 1 مول، غلظت اولیه سرب 150 گرم بر لیتر غلظت جاذب زیستی 10 گرم بر لیتر)



در شکل 2 می توان مشاهده کرد که روند کلی قابلیت جذب زیستی اسیدیته افزایش می یابد. اسیدیته به شدت بر ظرفیت جذب زیستی اثر گذاشت و دلایل مختلفی نیز به ان نسبت داده شده است. بنابراین کنگرون و همکاران نشان دادند که اسیدیته ی محلول اثر معنی داری بر جذب فلز سنگین دارد زیرا مقدار پروتون زایی سطحی عامل جذب و درجه ی یونیزاسیون ان را کنترل می کند. اما مقدار اسیدیته ی محلول به شدت نه تنها به انفال و جدا شدن سطح بیوماس بلکه بر یونیزاسیون و گونه زایی فلزات در محلول ابی اثر دارد. نمودار گونه های سرب در محلول نشان می دهد که سرب رسوب یافته به صورت  $Pb(OH)_2$  در اسیدیته ی بالاتر از 5.5 می

تواند ترکیبی از قابلیت میکرو رسوب و جذب زیستی داشته باشد. نمودار نشان می دهد که وقتی اسیدیته کمتر از 5.5 است گونه ای اصلی در محلول سرب 2 است. به همین دلیل مطالعه ای اسیدیته برای پایین تر از 5.5 انجام شد.

جدول 5: خصوصیات فیزیکی شیمیایی جاذب های زیستی (18)

NaOH-OS	H <sub>2</sub> SO <sub>4</sub> -OS	HNO <sub>3</sub> -OS	هسته ای زیتون تیمار نشده	تیمار هسته ای زیتون
0.2543 0.000463 72.7604 <1	0.5127 0.001880 146.6377 <1	2.4468 0.003839 62.7546 <1	0.1625 0.001840 453.0230 <1	BET $\text{m}^2/\text{g}$ حجم منفذ $\text{cm}^3/\text{g}$ قطر خلل و فرج $\text{\AA}$ اندازه ذره $\text{mm}$
19.59 4.98 26.81 60.82	9.22 0.60 33.58 56.36	20.45 0.84 19.55 61.88	12.16 0.76 25.68 54.70	ترکیب محلول اب داغ %. درصد ترکیب استخراجی EB لیگنین هولوسلولوز
- 78.68 17.80 3.52	- 83.95 16.03 0.02	- 79.00 20.96 0.04	5.43 74.66 19.54 0.37	رطوبت مواد فرار کربن ثابت شده خاکستر
0.272 - 0.272 6.77	0.1097 0.0735 0.0362 2.95	0.0767 0.0662 0.0105 2.97	0.0694 0.0370 0.0324 5.17	تیتراسیون پانتیومتری سایت های قابل تیتراسیون کل

				سایت های قابل تیتراسیون اسیدی	
				سایت های قابل تیتراسیون بازی	
				نقطه ای بار صفر	
17.870	11.250	9.183	36.840	TC, mg C/L	
2.789	0.000	0.000	0.022	TOC, mg C/L	
15.080	11.250	9.183	36.820	TIC, mg C/L	
36.8	14.3	13.9	-	کاهش بیوماس	
3336.8	3338.9	3331.9	3330.0	O-H	Wavenumber, cm <sup>-1</sup>
9.51	3.74	3.78	3.69		A, %
2915.5	2894.3	2898.6	2930.1	C-H	Wavenumber, cm <sup>-1</sup>
3.77	2.30	2.32	2.42		A, %
-	1729.3	1737.1	1730.4	C=O	Wavenumber, cm <sup>-1</sup>
-	2.02	1.87	3.13		A, %
1225.1	1227.2	1228.2	1233.0	C-O	Wavenumber, cm <sup>-1</sup>
6.58	4.70	4.27	6.02		A, %
1028.5	1027.9	1027.5	1028.7	C-O	Wavenumber, cm <sup>-1</sup>
18.74	12.20	11.53	13.14	alcoholic	A, %

#### • اثر غلظت سرب اولیه

سه هسته ای زیتون تیمار شده ای شیمیایی با غلظت 1 مول به عنوان جاذب زیستی برای مطالعه ای اثر غلظت اولیه ای سرب استفاده شدند. ازمایش در 3 غلظت (50, 150 and 250 mg/L) انجام شده و مقادیر جذب ظرفیت زیستی به دست امد. نتایج در شکل 3 نشان داده شده است. نتایج نشان می دهد که به طور کلی ظرفیت جذب زیستی با افزایش غلظت اولیه ای سرب افزایش می یابد و این ناشی از نیروی محرک در ظرفیت جذب زیستی می باشد که خود تفاضل بین غلظت تعادل و غلظت اولیه است. بنابراین هنگامی که این نیرو افزایش می یابد پاسخ نیز افزایش می یابد. این نیرو زمانی بالاست که غلظت محلول بیشتر از غلظت تعادل است نتیجه می توان گرفت که ظرفیت جذب زیستی با افزایش غلظت اولیه ای سرب تا زمان رسیدن به غلظت تعادل افزایش می یابد.

#### • اثر غلظت عامل شیمیایی

هسته ای زیتون در غلظت های مختلف عوامل شیمیایی 0.1 ، 1 و 2 مول برای مطالعه ای اثر غلظت محلول فراوری شد(شکل 4)

مشاهده گردید که تیمار با  $\text{NaOH}$  نتایج و همخوانی خوبی را با غلظت های تست شده دارد با این وجود برای تیمار اسیدی این رفتار متفاوت بود. این رفتار در یک مول موجب بهبود ظرفیت جذب زیستی با توجه به تیمار 0.1 مول نمی شود و حتی موجب بدتر شدن آن می شود. با این حال تیمار دو مول به شدت موجب بهبود نتایج یعنی 94.78 و 136.71 درصد نسبت به تیمار 0.1 مول برای  $\text{HNO}_3$ -OS and  $\text{H}_2\text{SO}_4$  می گردد. تیمار شیمیایی موجب تغییر خصوصیات فیزیکی و شیمیایی جاذب زیستی شده و سطح مقطع گروه های عاملی و ترکیبات را نیز تغییر می دهد. بنابراین با تیمار 1 مول، این خصوصیات تغییر می یابد اما برای بهبود آن کافی نیست. تیمار اسید موجب انحلال ترکیبات لیگنین می شود ولی این کاهش با افزایش سطح مقطع جبران نمی شود همچنان تغییراتی در جاذب زیستی مشاهده می شود. با این حال تعادل خاصل بین اثرات منفی و مثبت در حدود صفر است و برای همین هیچ گونه بهبودی در ظرفیت جذب زیستی دیده نمی شود. هنگامی که جاذب زیستی در دو مول فراوری شد بیلان خالص مثبت می باشد و ظرفیت جذب زیستی به شدت افزایش می یابد.

#### 4. تحلیل اماری

##### 4.1 مدل سازی با طرح تمام فاکتوریل

وقتی که تک تک فاکتور ها مطالعه شدند دو مول برای مطالعه همچوی فاکتور ها با هم و به دست اوردن معادلات پیش بینی برای محاسبه هی جذب زیستی به کار برده شدند (غلظت تیمار اسیدیته و غلظت اولیه هی سرب) و مقادیر پاسخ مطالعه ظرفیت جذب زیستی برای هر یک از تیمار ها

( $\text{HNO}_3$ ,  $\text{H}_2\text{SO}_4$  and  $\text{NaOH}$ ) در جدول 3 نشان داده شد.

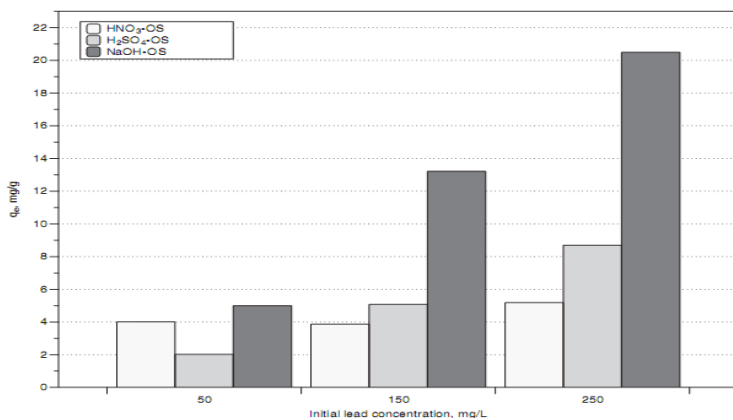
از این نتایج ازمايشی می توان به تحلیل های زیر رسید:

- نمودار پارتولو

تحلیل پارتولو نشان دهنده هی میزان اثر هر یک از متغیر ها بر فاکتور پاسخ است. و برای محاسبه هی اثر هر یک از آن ها بر پاسخ استفاده شد (44). نتایج به دست امده برای ظرفیت جذب زیستی و برای هسته هی زیتون فراوری شده هی شیمیایی تحلیل پارتولو در شکل 5 نشان داده شده است.

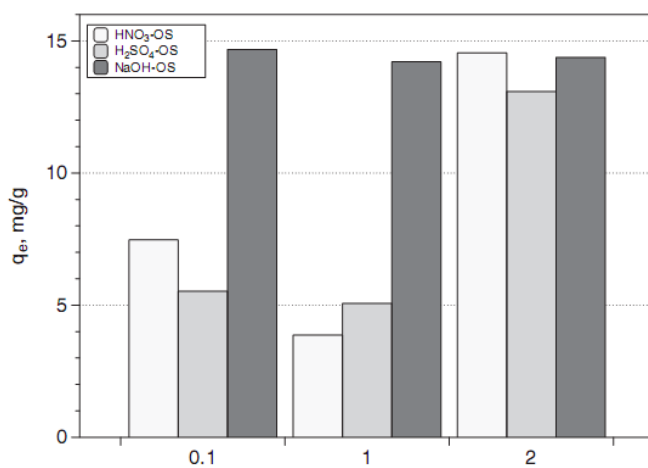
شکل 3: غلظت اولیه هی سرب در جذب زیستی سرب نسبت به ظرفیت جذب زیستی (غلظت عامل شیمیایی 1

مول اسیدیته 5 غلظت جاذب زیستی 10 گرم بر لیتر



شکل 4: اثر عامل شیمیایی در ظرفیت جذب زیستی (اسیدیته 5 غلظت اولیه سرب 150 میلی گرم بر لیتر

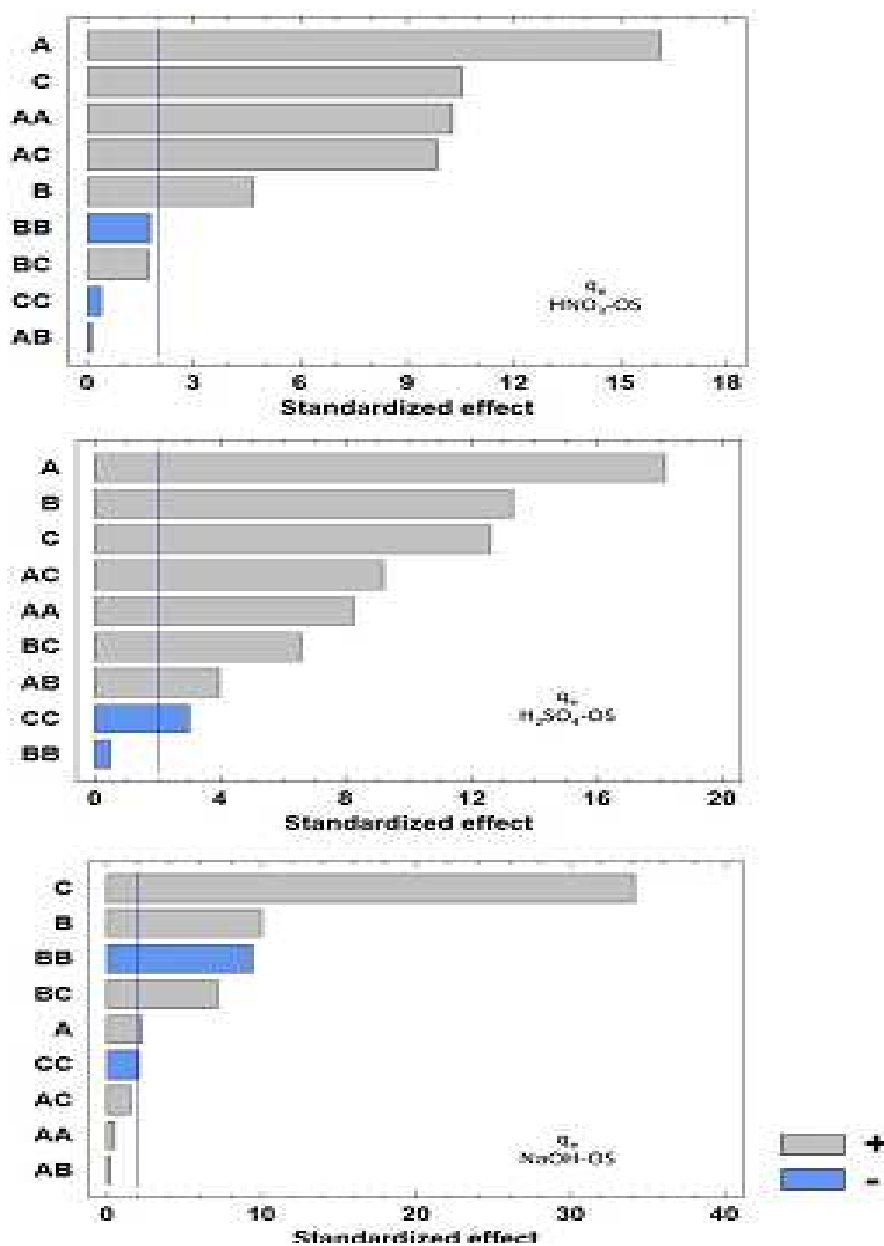
غلظت جاذب زیستی 10 گرم بر لیتر)



در نمودار پارتو خط عمودی نشان دهندهٔ حداقل اثر معنی دار بوده و طول ستون افقی متناسب با درجه معنی داری برای هر اثر است(45) عوامل منفی نشان دهندهٔ اثر مطلوب و انتاگونیست بر روی پاسخ است در حالی که فاکتور های مثبت نشان دهندهٔ اثر سینرژیک و مطلوب بر روی آن هاست(46). شکل 5 نشان می دهد که برای  $\text{HNO}_3\text{-OS}$  همهٔ معادلات خطی اثر معنی داری بر فرایند جذب زیستی دارد. با این حال معتدلات کوادراتی اثر متفاوتی دارند در حالی که معادلهٔ کوادراتیک  $a$  دارای اثر بالایی بر روی پاسخ است سایر معادلات دارای اثر پایینی می باشند حتی اثر ان ها پایین تر از خط عمودی است. اثرات متقابل بین فاکتور ها نیز معرفی شده است زیرا در بسیاری از موارد اثر هر فاکتور تحت تاثیر اثر فاکتور دیگر است. چندین مطالعه نشان دادند که اثرات متقابل بین دو فاکتور بر روی پاسخ معنی دار است[1,47,48]. برای مثال اسیدیته بر روی فرایند جذب زیستی اثر دارد زیرا اسیدیتهٔ محلول بر اساس معادلات مختلف متفاوت است و اثر فاکتور های دیگر نیز ممکن است نسبت به اثر اسیدیته متفاوت باشد. و این نشان دهندهٔ اثر بالای تیمار به خصوص زمانی که هستهٔ

زیتون به  $\text{HNO}_3$  فراوری شود است. در نهایت توجه داشته باشید که غلظت اولیه‌ی سرب برای اثر مثبتی بر قابلیت جذب زیستی بر اساس تعاریف معادلات مختلف است. اثرات مشابه برای  $\text{H}_2\text{SO}_4\text{-OS}$  گزارش شده است و اهمیت بالای معادلات خطی و اثر پایین معادلات کوادراتی گزارش شده است با این حال متفاوت است. و این اثر سینرژیک را گزارش کرده است. از این رو برای هسته‌ی زیتون فراوری شده‌ی شیمیایی و اسیدی مهم ترین اثر غلظت تیمار است در حالی که برای نوع بازی بیشترین اثر غلظت اولیه‌ی سرب است.

شکل 5: نمودار استاندار پاراتو ظرفیت جذب زیستی برای OS فراوری شده با  $\text{H}_2\text{SO}_4$  and  $\text{NaOH}$



• تحلیل رگرسیون

داده های به دست امده با معادله ی رگرسیون درجه دوم به شکل زیر برآش شده اند:

$$Y = a_0 + a_1 \cdot A + a_2 \cdot B + a_3 \cdot C + a_4 \cdot A^2 + a_5 \cdot A \cdot B + a_6 \cdot A \cdot C + a_7 \cdot B^2 + a_8 \cdot B \cdot C + a_9 \cdot C^2 \quad (9)$$

که ۷ ظرفیت جذب زیستی A و B و C فاکتور های مطالعه شده A0 میانگین جهانی و  $a_{ij}$  ضرایب رگرسیون است. معادله ی برآش یافته برای هر OS جایگزین ضرایب  $a_{ij}$  در معادله 9 با مقادیر متناظر از جدول 9 شدند. معادله ی به دست امده ی انحراف معیار جدول 6 درصد در همه ی نمونه های مطالعه شده بودند. انها نشان دادند که مدل داده ها برآش خوبی داشته و همبستگی خوبی بین مقادیر پیش بینی شده و مشاهده شده ی ظرفیت جذب وجود داشت. الموز (49) نشان داد که ضریب همبستگی باقیمانده ۸۰ درصد برای برآش او به مدل باشد بنابراین مقادیر  $(R^2_i)$  به دست امده نشان داد که مدل های رگرسیون به خوبی قادر به توجیه ارتباط بین فاکتور ها و پاسخ های مطالعه شده با معادلات درجه دوم بودند. از سوی دیگر مقادیر  $(R^2_i)$  نشان داد که مدل با بهترین نتایج برای هسته ی زیتون فراوری شده با  $\text{NaOH}$  است که بالاترین مقدار را برای پیش بینی ظرفیت جذب زیستی نشان می دهد.

جدول 6: مقادیر ثابت برای مدل برآش یافته ی دو پاسخ و برای تک تک هسته های زیتون فراوری شده

ثابت	مدل برآش یافته پاسخ ها		
	$\text{HNO}_3\text{-OS}$	$\text{H}_2\text{SO}_4\text{-OS}$	$\text{NaOH-OS}$
$a_0$	3.950	4.003	15.654
$a_1$	10.467	5.620	0.998
$a_2$	3.038	4.121	4.544
$a_3$	6.843	3.906	15.530
$a_4$	11.540	4.409	0.400
$a_5$	-0.112	1.499	-0.082
$a_6$	7.840	3.48	0.815
$a_7$	-1.987	-0.261	-7.393
$a_8$	-1.360	2.482	3.987
$a_9$	-0.457	-1.614	-1.630
$R^2$	0.915	0.954	0.971

ANOVA •

تحلیل واریانس برای مطالعه‌ی معنی داری مدل انجام شد بنابراین ANOVA برای به دست اوردن مجموع مربعات، درجه‌ی ازادی میانگین مربعات، نسبت  $F$  مقدار  $p$  با برازش معادله‌ی چند جمله‌ای درجه‌ی دوم از داده‌های ازمایشی انجام شد. نتایج ضرایب مدل و تحلیل واریانس در جدول 7 نشان داده است.

از جدول 7 می‌توان مشاهده کرد که ضرایب برای تثرات اصلی برای هر دو تیمار اسیدی معنی دار است در حالی که برای تیمار‌های بازی اثر A معنی دار نبود. می‌توان گفت که هرچه بزرگی مقدار  $F$  بالا باشد و مقدار  $P$  کمتر باشد ضریب معنی دار تر خواهد بود (50). بنابراین می‌توان مشاهده کرد که متغیر با بیشترین اثر غلظت تیمار برای تیمار اسیدی است. علاوه‌همه‌ی ضرایب همبستگی بالاتر از 90 برازش خوب مدل اماری را نشان دادند.

#### 4.2 سیستم استنتاج فازی عصبی تطبیقی

ظرفیت جذب زیستی OS شیمیایی با استفاده از توابع عضویت مختلف (خطی، گوسی و غیره) پیش‌بینی شده و خطای حداقل با مقادیر گوسی بدست آمد. از این روی توابع عضویت گوسی برای سه متغیر عملیاتی انتخاب شد. جدول 8، مقادیر پارامتر ثابت را برای هر متغیر و هر سطح برای مدل‌های عصبی فازی نشان می‌دهد. مقادیر پهنه‌ای توزیع تابع گوسی برای هر متغیر و هر سطح و مقادیر عر متغیر برای هر سطح، موسوم به قواعد تابع است. مقادیر پیش‌بینی شده برای ظرفیت جذب زیستی با معادله 8 بدست آمد.

جدول 9 مقادیر بدست آمده را برای پنهانی توزیع گوسی هر فاکتور (غلظت محلول تیماری، اسیدیته و غلظت اولیه سرب) و هر سطح‌نشان می‌دهد. از این روی، بدست اوردن توابع گوسی متناظر برای هر سطح لازم است (معادله 7-5).

بر اساس معادله 8 و عبارت‌های قبلی و ضرایب، ظرفیت جذب زیستی پیش‌بینی شده را می‌توان بدست اورد. نتایج متغیر وابسته بدست آمده با مدل در جدول 8 نشان داده شده است. برآوردهای مدل‌های فازی عصبی مقداری انحراف از مقادیر ازمایشی نشان دادند و میزان خطای برابر با 4.1 و 1.4 و 5 درصد برای OS فراوری شده شیمیایی با  $\text{NaOH}$ ,  $\text{HNO}_3$ ,  $\text{H}_2\text{SO}_4$  بود. از این روی مدل ریاضی می‌تواند برآوردهای خوبی از نتایج ازمایشی ارایه کند. به علاوه، مدل سازی فازی عصبی امکان تفسیر فیزیکی ثابت‌ها را می‌دهد. برای مثال، مقدار پیش‌بینی شده بدست آمده در غلظت تیماری بالا، اسیدیته زیاد و غلظت سرب بالای اولیه با پارامتر 27 معادله مطابق است. این خود یک مزیت اضافی نسبت به مدل‌های چند جمله‌ای است.

برای تعیین مقادیر ظرفیت جذب زیستی پیش بینی شده و مقادیر بهینه، سطوح پاسخ با مقدار یکی از متغیرهای مستقل به شکل نمودار نشان داده شد. ظرفیت جذب با استفاده از نمودار غلظت تیمار در برابر اسیدیته برای هر یک از سطوح غلظت اولیه سرب مطالعه شد. متغیر ثابت در هر مدل از شکل 6 اثر بیشتری بر روی فرایند داشت. نتایج در شکل 6 نشان داده شده است.

جدول 7: تحلیل واریانس برای سه OS فراوری شده شیمیایی

Factor	HNO <sub>3</sub> -OS					H <sub>2</sub> SO <sub>4</sub> -OS					NaOH-OS				
	SS	Df	MS	F-R	P-V	SS	Df	MS	F-R	P-V	SS	Df	MS	F-R	P-V
A	985.96	1	985.96	259.61	0.000	284.3	1	284.3	329.3	0.000	9.0	1	9.0	4.8	0.034
B	83.1	1	83.1	21.9	0.000	152.9	1	152.9	177.1	0.000	185.9	1	185.9	99.8	0.000
C	421.5	1	421.5	111.0	0.000	137.3	1	137.3	159.1	0.000	2170.6	1	2170.6	1165.3	0.000
A <sup>2</sup>	399.5	1	399.5	105.20	0.000	58.3	1	58.3	67.6	0.000	0.5	1	0.5	0.3	0.614
A·B	0.1	1	0.1	0.0	0.889	13.5	1	13.5	15.6	0.000	0.0	1	0.0	0.0	0.884
A·C	368.8	1	368.8	97.1	0.000	72.6	1	72.6	84.2	0.000	4.0	1	4.0	2.1	0.251
B <sup>2</sup>	11.8	1	11.8	2.92	0.095	0.2	1	0.2	0.2	0.629	164.0	1	164.0	88.0	0.000
B·C	11.1	1	11.1	2.9	0.095	36.9	1	36.9	42.8	0.000	95.4	1	95.4	51.2	0.000
C <sup>2</sup>	0.6	1	0.6	0.2	0.687	7.8	1	7.8	9.1	0.004	8.0	1	8.0	4.3	0.045
Total Error	163.3	43	3.8			37.1	43	0.9			80.1	43	1.9		
Total Error (corr.)	2445.8	53				800.9	53				2717.4	53			

جدول 8: پارامتر ثابت بدست امده برای OS فراوری شده شیمیایی در هر شرایط عملیاتی

Run	HNO <sub>3</sub> -OS	H <sub>2</sub> SO <sub>4</sub>	NaOH-OS
1	0.0000	0.7429	2.517
2	0.7072	0.7358	5.082
3	1.003	0.785	3.573
4	2.925	2.205	4.852
5	3.6100	1.884	14.44
6	4.232	4.548	4.232
7	2.799	2.583	2.799
8	10.94	5.74	10.94
9	5.649	3.239	5.649
10	0.000	1.014	2.071
11	0.000	0.4111	5.30
12	0.000	0.00	3.957
13	1.646	0.7831	1.646
14	2.082	1.895	15.81
15	2.172	0.000	25.88
16	5.709	1.103	2.899
17	2.015	2.166	2.03
18	2.37	6.333	0.000
19	4.44	3.074	2.178
20	8.829	5.208	4.82
21	10.48	6.861	2.586
22	5.783	3.983	4.90
23	15.26	6.746	17.30
24	25.84	8.051	26.01
25	3.342	3.968	1.027
26	13.93	13.46	1.879
27	25.70	16.70	20.56

جدول 9: مقادیر بدست آمده برای پهنه‌ای توزیع گوسی

Factors	Levels		
	Low	Medium	High
A: Concentration of treatment solution	42.46	42.46	42.46
B: pH	0.3104	0.3146	0.7715
C: Initial concentration of lead	0.2967	0.2302	0.6358

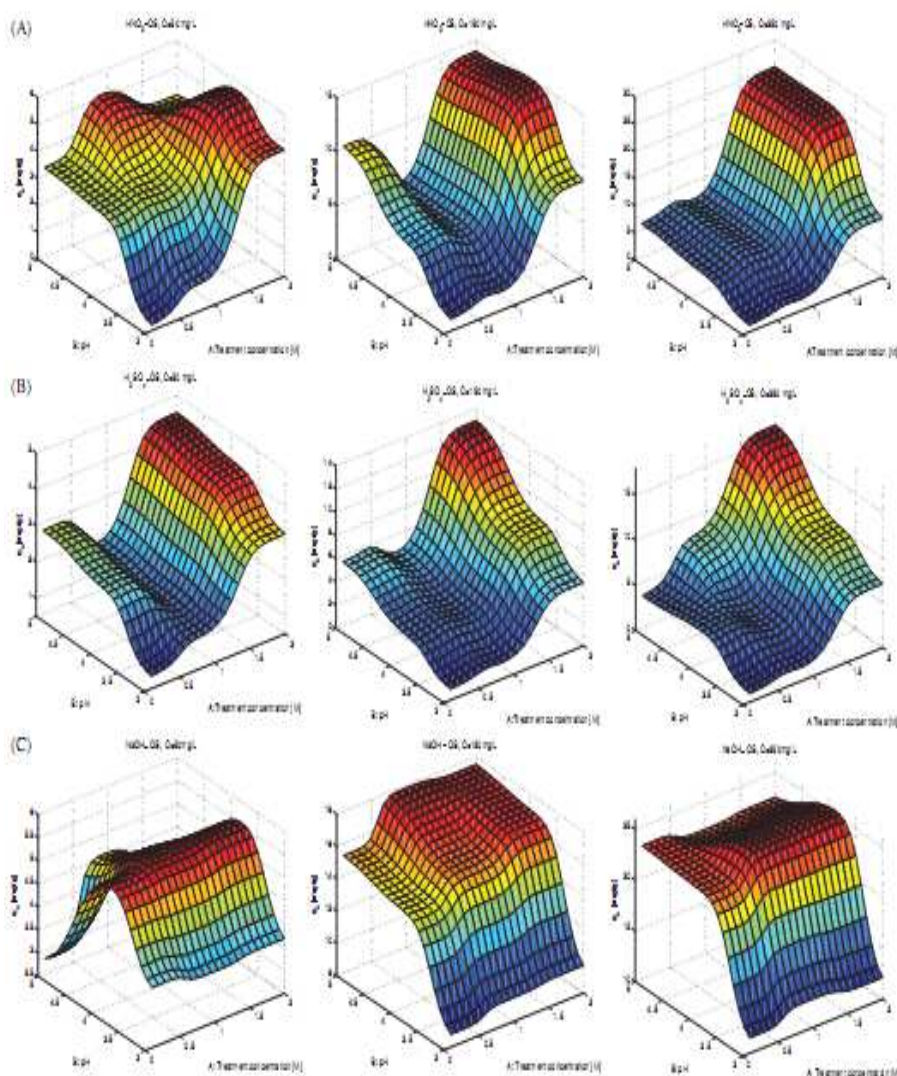
ظرفیت جذب زیستی به طور قابل ملاحظه ای بستگی به غلظت اولیه سرب دارد که در مقیاس تولیه مشاهده شد. بعلاوه نشان داده شده است که غلظت زمانی بیشتر است که غلظت اولیه سرب افزایش باید به این ترتیب در غلظت اولیه سرب 50 میلی گرم بر لیتر دامنه ای ظرفیت جذب زیستی بین 0 و 5 و 2.5 و 5.5 برای OS فراوری شده ای شیمیایی برای  $\text{HNO}_3$ ,  $\text{H}_2\text{SO}_4$  and  $\text{NaOH}$  به ترتیب بود برعکس در غلظت اولیه سرب 250 میلی گرم بر لیتر این مقادیر از 0 تا 30 و 0 تا 10 . 10 تا 25 برای OS فراوری شده ای شیمیایی با  $\text{HNO}_3$ ,  $\text{H}_2\text{SO}_4$  and  $\text{NaOH}$  بود. بعلاوه برای ماکریمم مقدار C مقدار O در سطوح بالای هر دو متغیر دیده شد. این نشان می دهد که هر چه شرایط برای فرایند جذب زیستی بهتر باشد از اسیدته برابر با 5 و غلظت بالای محلول تیماری حاصل می شود. این مقدار پیک در  $\text{NaOH-OS}$  مشاهده نشد و این ناشی از بار جاذب زیستی است که تولید رسوب فلز هنگام بالابودن غلظت اولیه سرب می کند. به این ترتیب می توان از لزوم استفاده از کنترل کننده  $\text{PH}$  در طی فرایند اگاه شد و همچنین باقیستی مقادیر کم  $\text{PH}$  هنگام بالابودن غلظت اولیه سرب استفاده کرد تا از فرایند های رسوب اجتناب کرد. بعلاوه همین اثر بر بخش 3.2.2 مشاهده گردید.

وقتی OS با محلول بازی تیمار شد جذب زیستی بالای ان در همه ای غلظت ها تست شد با این حال برای تیمار اسیدی این رفتار متفاوت بود تیمار در یک مول موجب کاهش ظرفیت جذب زیستی با توجه به تیمار در 0.1 مول شد. با این حال مقادیر ظرفیت جذب زیستی برای غلظت دو مول با افزایش این غلظت افزایش یافت. این می تواند ناشی از تیمار شیمیایی باشد که موجب تغییر خصوصیت فیزیکی و شیمیایی جاذب و تغییر گروه های عاملی و ترکیب مواد می شود بنابراین با تیمار 1 مول تغییر این خصوصیات ممکن است کافی نباشد برای مثال تیمار اسیدی موجب انحلال ترکیبات لیگنین می شود اما این کاهش با افزایش سطح مقطع جبران نمی شود. همچنین یک تغییر در جاذب زیستی وجود دارد اما تعادل خالص بین اثر مثبت و منفی حدود صفر است و

برای همین ظرفیت جذب زیستی افزایش نمی یابد وقتی که جاذب زیستی در دو مول فراوری شود تعادل خالص مثبت بوده و ظرفیت جذب زیستی افزایش نمی یابد.

رونده پاسخ سطحی زمانی مشابه است که OS با محلول های اسیدی فراوری شود. اگر برای تیمار های فازی متفاوت بودند، این نشان دهنده ای همبستگی قوی بین ظرفیت زیستی و نوع تیمار است. برازش بهتر با توابع گوسی نشان می دهد که متغیر های مطالعه شده اثر خطی بر روی پاسخ ندارند زیرا آن ها بستگی به متغیر های دیگر دارند که نشان دهد اثر گوسی بر روی ظرفیت زیستی است. این اثر گوسی متغیر های فرایند را یج است که نشان دهنده ای لزوم کار در مناطق پیک به منظور بیشینه سازی حذف سرب می باشد.

شکل 6: ظرفیت جذب زیستی پیش بینی شده به صورت تابعی از غلظت تیمار A و PH به یکی از سطوح غلظت سرب اولیه C و برای هر OS فراوزی شده ای شیمیایی



### 4.3 مقایسه‌ی مدل‌ها

مقایسه‌ی مقادیر به دست امده با دو مدل با مقادیر ازمايشي به طور کلي نشان مى دهد که مدل ANFIS برازش بهترى نسبت به مدل FFD دارد(خطا ها کوچکتر و مقادير  $R^2$  بيشتر است)علاوه برای تحليل نتایج برازش بهتر با استفاده از هر دو مدل مقادير پيش بینی شده در برابر نتایج ازمايشي نشان داده شده است.

علاوه مدل سازی فازی عصبی امکان تفسیر فیزیکی ثابت‌ها را می دهد زیرا ان‌ها قادر به مدل سازی مقادير اولیه‌ی ظرفیت جذب زیستی می باشد.

مدل فازی به بهترین وجه تولید مقادیر بالایی از قابلیت جذب زیستی می کند که در جدول 3 نشان داده شدو این قابلیت بیشتر از مدل طرح تمام فاکتوریل است. مشاهده شد که مدل ANFIS نتایج ازمايشي را در دامنه‌ی مورد مطالعه برای 3 تیمار شیمیایی بهتر پيش بینی می کند. در همه‌ی موارد مقادير  $R^2$  زمانی که داده‌ها با مدل ANFIS برازش شدند بیشترین نزدیکی را به 1 داشت، علاوه‌بر دو مدل دارای مقادير  $R^2 > 0.91$  بودند.

### 5. نتیجه‌گیری

الودگی فلزات سنگین در فاضلاب و پسماند‌ها امری رایج است. در این مطالعه استفاده از جذب زیستی توسط هسته‌ی زیتون برای حذف سرب از محلول ابی در نظر گرفته شد. هسته‌ی زیتون تحت تیمار‌های شیمیایی مختلف برای بهبود ظرفیت زیستی قرار گرفت. مطالعات کمی برای بررسی رابطه‌ی تیمار شیمیایی جاذب تغییر خصوصیات آن و مقادیر ظرفیت جذب زیستی پرداختند. به خصوص نقش تیمار شیمیایی با سایر فاکتور‌های عملیاتی نیز بررسی شده است: طرح تمام فاکتوریل و سیستم استنباط فازی تطبیقی عصبی. ظرفیت جذب زیستی با تغییرات ایجاد شده طی تیمار شیمیایی مشاهده شد و نتایج بر اساس تیمار بازی یا اسیدی متفاوت بود. نتایج اصلی زیر به دست امده‌اند:

1. تیمار شیمیایی روی OS موجب تغییر خصوصیات فیزیکی شیمیایی آن به خصوص سطح مقطع، حجم تخلخل، گروه‌های عاملی اصلی و محتوی آن در هولوسلولوز و لیگنین می شود.
2. فکتور‌های عملیاتی مطالعه شد (تیمار شیمیایی، غلظت محلول تیمار اسیدیته و محلول سرب اولیه) اثر قوی بر روی پاسخ دارند

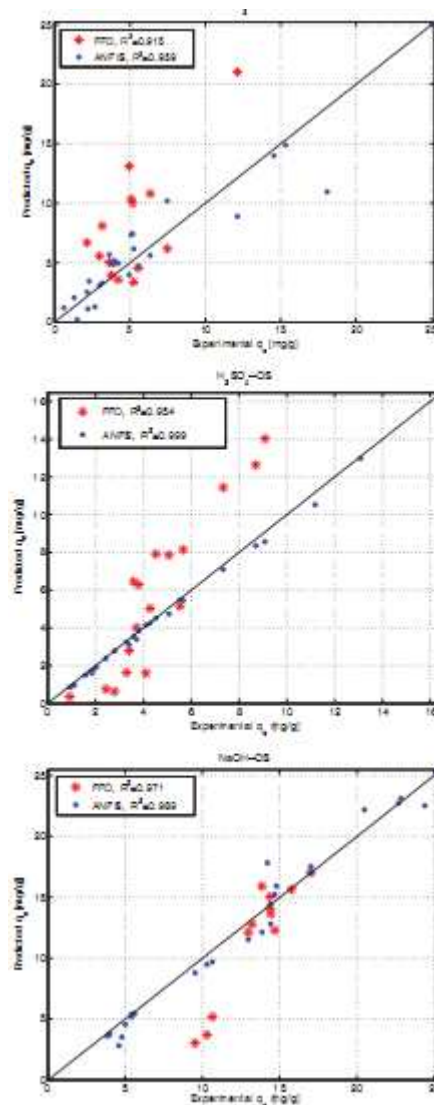
3. بر اساس مقادیر  $R^2$  هر دو مدل برازش خوبی از داده ها داشتند و هر دو را می توان برای پیش بینی ظرفیت جذب OS استفاده کرد.

4. طرح تمام فاکتوریل می تواند پیش بینی ضعیف تری از نتایج قابلیت جذب زیستی به دست دهد.

5. مدل فازی عصبی یک تفسیر فیزیکی از ثابت C1 در اختیار می گذارد زیرا آن ها نشان دهنده می مقدار متوسط ظرفیت جذب زیستی تحت شرایط تعیین شده با قاعده ای فازی می باشد

شکل 7: مقایسه ای بین هر دو مدل مورد استفاده: طرح تمام فاکتوریل FFD و استنتاج فازی عصبی تطبیقی برای

$\text{NaOH}$  و  $\text{HNO}_3, \text{H}_2\text{SO}_4$  فراوری شده ای شیمیایی با OS





این مقاله، از سری مقالات ترجمه شده رایگان سایت ترجمه فا میباشد که با فرمت PDF در اختیار شما عزیزان قرار گرفته است. در صورت تمایل میتوانید با کلیک بر روی دکمه های زیر از سایر مقالات نیز استفاده نمایید:

✓ لیست مقالات ترجمه شده

✓ لیست مقالات ترجمه شده رایگان

✓ لیست جدیدترین مقالات انگلیسی ISI

سایت ترجمه فا؛ مرجع جدیدترین مقالات ترجمه شده از نشریات معترض خارجی